

بررسی تغییرپذیری یاخته‌های خونی و فعالیت فنل اکسیداز لارو پروانه
موم خوار بزرگ تیمارشده با دو گونه نماتود
Steinernema feltiae و *Heterorhabditis bacteriophora*

۱. زهرا راحت خواه؛ ۲. جواد کریمی*؛ ۳. محمد قدیمیاری؛ ۴. غلامحسین مروج
۱، ۲ و ۴. دانشجوی کارشناسی ارشد حشره‌شناسی، دانشیار و استادیار گروه گیاه‌پزشکی، دانشگاه فردوسی مشهد
۳. دانشیار، گروه گیاه‌پزشکی، دانشگاه گیلان
(تاریخ دریافت: ۱۳۹۳/۱۱/۱۵ - تاریخ تصویب: ۱۳۹۴/۱۰/۹)

چکیده

ایمنی در حشرات شامل بخش‌های مختلف دفاع رفتاری، فیزیکی و ایمنی ذاتی آنهاست. در این بررسی، مؤلفه‌های کلیدی دخیل در سازوکارهای ایمنی ذاتی لارو پروانه مومن خوار بزرگ *Galleria mellonella* به عنوان حشره مدل، (شامل تغییر در شمار و انواع یاخته‌های خونی یا هموسیت‌ها و نیز تغییرپذیری فعالیت آنزیم فنل اکسیداز) در برابر دو گونه جدایه بومی نماتود بیمارگر حشرات، *Heterorhabditis* آنزیم *Steinernema feltiae* و *bacteriophora* بررسی شد. شمار کل یاخته‌های خونی لارو میزان بی‌درنگ پس از تزریق گونه *H. bacteriophora* افزایش یافت. در بین تیپ‌های مختلف یاخته‌ای، پلاسماتوسیت‌ها و گرانولوسیت‌ها فراوانی بیشتری داشتند. در لاروهای تیمارشده با گونه *S. feltiae* این واکنش متفاوت بود. نماتود اخیر تأثیری در نوسان سریع جمعیت یاخته‌های خونی در زمان‌های اولیه (پانزده دقیقه تا چهار ساعت) پس از تزریق نداشت. اما با گذشت زمان، در هشت و دوازده ساعت پس از تزریق، جمعیت یاخته‌های خونی در همولنف لاروهای تیمارشده با هر دو گونه نماتود کاهش یافت. در بخش دفاع هیومرال نیز مشخص شد که گونه *H. bacteriophora* باعث تحریک و افزایش فعالیت آنزیم فنل اکسیداز در پانزده دقیقه تا هشت ساعت پس از ورود به حفره عمومی می‌شود درحالی‌که، تغییر سطح کمی این آنزیم در زمان تقابل میزان با گونه *S. feltiae* به مراتب کمتر بود.

کلیدواژگان: ایمنی حشرات، پاسخ یاخته‌ای، پاسخ هیومرال، بیمارگر حشرات، نماتودهای بیمارگر حشرات.

کپسول، گره و فاگوسیتوز در بخش یاخته‌ای و تولید پروتئین‌های ضد میکروبی، فنل اکسیداز و انعقاد همولنف از جمله واکنش‌های بخش هیومرال به‌شمار می‌رond. اما این پاسخ‌ها، برخلاف ظاهر نه تنها از هم جدا نبوده بلکه نیروهای دفاعی وابسته به هم به‌شمار می‌آیند (Tsakas and Marmaras 2010).

مقدمه

سامانه ایمنی ذاتی در حشرات آخرین و مهم‌ترین بازدارنده دفاعی است که بیمارگرها یا انگل‌های حشرات با آن رویه‌رو می‌شوند و اغلب نقشی تعیین‌کننده در زنده‌مانی حشره دارد. این سامانه از دو بخش یاخته‌ای و هیومرال تشکیل شده است. واکنش‌هایی مثل تشکیل

نماتود و باکتری همزیست آنهایی که باعث مرگ حشره میزبان می‌شوند، مشخص شدند.

لاروهای بالپولکداران که به طور معمول به عنوان مدل آزمایشگاهی در بررسی‌های بیماری‌شناسی حشرات استفاده می‌شوند شامل گونه‌های *Manduca Galleria mellonella*, *Spodoptera littoralis* و *sexta Nielsen-LeRoux et al.* 2012)، در این میان لارو پروانه موم‌خوار بزرگ *G. mellonella*، به دلیل حساسیت بالا، سادگی پرورش، اندازه و دوره رشدی مناسب به عنوان مدل آزمایشگاهی برای پرورش و بررسی چگونگی تقابل نماتودهای بیمارگر حشرات و البته دیگر بیمارگرها حشرات با سامانه ایمنی حشرات استفاده می‌شود.

در این بررسی تأثیر جدایه‌های بومی نماتودهای بیمارگر *H. bacteriophora* و *S. feltiae* بر جمعیت انواع یاخته‌های خونی و فعالیت آنزیم فنل‌اکسیداز لاروهای میزبان که مهم‌ترین عامل دخیل در دفاع هیومرال است، بررسی می‌شود.

مواد و روش‌ها

پرورش حشره

جمعیت لارو پروانه موم‌خوار بزرگ، در آزمایشگاه با برنامه غذایی مصنوعی شامل: آرد گندم (۵۴ درصد)، عسل (۲۷ درصد)، موم (۵/۴ درصد)، مخمر (۱۳/۵ درصد) و گلیسرین (۹۹ درصد (۵۰۰ میلی‌لیتر) پرورش یافت (Vilcinskas and Matha 1997). کلنی در شرایط تاریکی، دمای ۳۷ درجه سلسیوس و رطوبت نسبی $\pm 5\%$ درصد، نگهداری شد. لاروهای سن آخر در آزمایش استفاده شدند.

افزایش نماتودهای بیمارگر حشرات

به منظور گردآوری نماتودهای بیمارگر حشرات، نمونه‌های خاک در سال ۱۳۹۱، از شهرستان بجنورد، واقع در استان خراسان شمالی گردآوری شد. نمونه‌های جداسازی شده نماتود بیمارگر با استناد به مشخصات کلیدی ظاهری و ریخت‌سننجی (مرفو‌متريک) گروه‌بندی شدند. تعیین هویت جدایه‌های نماتود بیمارگر استخراج شده به روش مولکولی و با تجزیه و تحلیل اطلاعات ناحیه ژنی ITS انجام شد (Karimi et al. 2009). جدایه‌های بومی نماتودهای بیمارگر *S. feltiae* و *H. bacteriophora* (KM000854) حشرات

بیمارگرها حشرات (مانند، باکتری‌ها، قارچ‌ها، نماتودها و میکرواسپرودی‌ها) باید بر بازدارنده‌های دفاع فیزیکی و آن‌گاه اینمی ذاتی میزبان غلبه کرده و قادر به ایجاد عفونت در میزبان باشند تا به عنوان عامل کنترل زیستی استفاده شوند (Vega and Kaya 2012). در بین بیمارگرها می‌توانند اهمیت ویژه‌ای دارند، این گروه از بیمارگرها می‌توانند فعالانه در زیستگاه آفت (از جمله خاک، شاخ و برگ و تنہ درختان) به جست‌وجوی میزبان پرداخته و آن را آلوده کنند. گروه عمده‌ای از نماتودهای بیمارگر که به صورت تجاری علیه آفات مختلف به کار گرفته می‌شوند، مربوط به خانواده‌های Heterorhabditidae و Steinernematidae هستند، این نماتودها با باکتری‌هایی از خانواده Enterobacteriaceae رابطه همزیستی داشته و این همزیستی نقشی عمده در بیمارگری این گروه دارد (Grewal et al. 2005).

گونه‌های بسیاری از نماتودهای بیمارگر حشرات در کنترل آفات در نواحی مختلف جهان به کار گرفته شده‌اند، سخت‌بال‌پوشان، بالپولکداران و دو بالان از جمله مهم‌ترین میزبان‌هایی هستند که کاربرد نماتود بیمارگر علیه آنها موققیت‌آمیز بوده است (Kaya and Lacey 2007). بیان این نکته ضروری است که کارایی نماتودهای بیمارگر حشرات افزون بر ویژگی‌های زهرآگینی به توانایی آنها در کامل کردن فرآیند بیماری‌زاوی (نفوذ، غلبه بر سدهای ایمنی میزبان، رهاسازی باکتری همزیست) وابسته است که گونه‌های مختلف در این امر یکسان نیستند در همین راستا تورستون و همکاران پس از بررسی حساسیت کم سوسک کلرادو به نماتود بیمارگر *Steinernema carpocapsae* دریافتند، بیشتر لاروهای بیمارگر این نماتود در هموسل این حشره توسط کپسولی از یاخته‌های خونی به دام می‌افتد. بررسی‌های بیشتر نشان داد که حشره یادشده می‌تواند بیش از بیست‌ویک لارو بیمارگر نماتود را در هموسل خود به همین روش مهار کند (Thurston et al. 1994). پاسخ‌های ایمنی بسته به گونه میزبان و گونه و جدایه نماتود بیمارگر مختلف است (Li et al. 2007). بنابراین بررسی تقابل نماتودهای بیمارگر با میزبان، در کاربرد این بیمارگرها به عنوان عامل‌های کنترل زیستی، ضروری است. در مسیر این بررسی بیمارگری ناشی از

۱:۵ با محلول ضد انعقاد (۱ گرم آسكوربیک اسید، ۱ گرم سیتریک اسید در ۱۰۰ میلی لیتر محلول رینگر) رقیق شد و سپس یاخته‌های خونی با استفاده از لام گلبول شمار نئوبار، شمارش شد. این آزمایش در چهار تکرار و کل آزمایش دو بار انجام شد.

شمارش افتراقی یاخته‌های خونی

به منظور بررسی تغییرپذیری جمعیت هر نوع یاخته خونی در رویارویی با نماتودهای بیمارگر، در زمان‌های مشخص ۱۵ دقیقه، ۲، ۴، ۸ و ۱۲ ساعت پس از تزریق، اسلایدهای میکروسکوپی از همولنف، تهیه شده و شمار دویست یاخته از همه قسمت‌های اسلامید به صورت تصادفی شمارش شد (Gupta 1972). این آزمایش در چهار تکرار و کل آزمایش دو بار انجام شد.

دفاع هیومرال، بررسی واکنش آنژیم فنل اکسیداز
آنژیم فنل اکسیداز از مؤلفه‌های مهم دفاع هیومرال در حشرات است. بنابراین سنجش میزان فعالیت آنژیم یادشده در مقابل حشره با نماتود، می‌تواند شاخصی در درک میزان دفاع حشره باشد. پیش از ارزیابی فعالیت آنژیم، در آغاز میزان کل پروتئین همولنف لارو آنژیم، در روشنگ (G. mellonella) (Bradford 1976) تعیین شد.

تعیین میزان پروتئین و رسم منحنی استاندارد
به منظور تعیین میزان پروتئین همولنف، در آغاز منحنی استاندارد پروتئین با استفاده از پروتئین استاندارد آلبومین گاوی به عنوان پروتئین خالص، در ده غلظت مختلف ۰ تا ۱ میلی گرم بر میلی لیتر و نیز معرف برده‌فورد، تهیه شد. برای تهیه معرف یادشده، ۱۰۰ میلی گرم پودر کوماسی بریالنت بلو (G250) (Merck[®])، به ۵۰ میلی لیتر اتانول ۹۵ درجه اضافه شد سپس ۱۰ میلی لیتر اسید فسفریک ۸۵٪ درصد به تدریج به محلول اضافه شد تا محلول بهرنگ قهوه‌ای تیره درآمد. در نهایت حجم محلول به ۱ لیتر رسانده و با استفاده از کاغذ صافی، به آرامی صاف شد. غلظت‌های مختلف پروتئین استاندارد با استفاده از دستگاه میکروپلیت‌ریدر Stat Fax 3200[®]; Awareness Technology Inc. (Florida, USA) در طول موج ۶۳۰ نانومتر خوانده شد.

(KC675182) برای تلقیح لارو سن آخر پروانه موم خوار بزرگ استفاده شدند، سپس لاروهای آلوده به تله وایت انتقال یافته و پس از تکمیل چرخه زندگی در عرض ۵-۶ روز، لاروهای عفونتزا خارج شده، در ظرفهای فالکون گردآوری و تا زمان آزمایش در یخچال نگهداری شدند (Karimi et al. 2009).

شناسایی یاخته‌های خونی

به منظور شناسایی یاخته‌های خونی لارو پروانه موم خوار بزرگ، همولنف لاروها از راه قطع کردن پای سوم کاذب، گردآوری شد. سپس گسترهای از همولنف روی لام ایجاد شد. پس از خشک شدن همولنف در مجاورت هوا و در دمای اتاق، از ترکیب متابولو: اسیداستیک (۳:۱) Altuntas et al. (2012)، پس از خشک شدن گستره همولنف، یاخته‌های خونی با استفاده از محلول گیمسا ۱۰ درصد، به مدت پانزده دقیقه، رنگ آمیزی شد و سپس با آب شسته و در مجاورت هوا خشک شد (Gupta 1972). یاخته‌های رنگ آمیزی شده با استفاده از میکروسکوپ (Olympus[®]، مجهر به دوربین ۷۱ DP)، بررسی و از آنها تصویر تهیه شد. یاخته‌های خونی با توجه به ویژگی‌های ظاهری و اندازه طول و عرض (بر حسب میکرومتر)، با استناد به Gupta 1972, Price and Ratcliffe 1974, Lavine and Strans 2002, Riberio and Brehelin 2006 ارایه شده توسط (and) از یکدیگر متمایز شدند.

تیمار با نماتود

در هر آزمایش، ده لارو بیمارگر نماتود همراه با ۱۰ میکرولیتر آب مقطر سترون با استفاده از سرنگ انسولین (Soft ject)[®] (۳۰ G)، از محل پیش‌ران پای کاذب سوم، به هموسل بدن میزان تزریق شد. برای تیمار شاهد از آب مقطر سترون استفاده شد.

شمارش کلی یاخته‌های خونی

برای بررسی تغییرپذیری شمار کل یاخته‌های خونی، همولنف تازه در زمان‌های ۱۵ دقیقه، ۲، ۴، ۸ و ۱۲ ساعت پس از تزریق ده لارو بیمارگر نماتود از لاروهای میزان، گردآوری شد. همولنف گردآوری شده به نسبت

گرانولوسیت، انوسیتوئید، اسفلولوسیت و پروهموسیت. پلاسماتوسیت‌ها به عنوان فراوان‌ترین جور یاخته‌ای، $17/31 \pm 1/42$ میکرومتر طول و $0/79$ میکرومتر عرض داشتند (شکل ۱-الف و ب)، گرانولوسیت‌ها هسته مرکزی و دانه‌های گرانول در سیتوپلاسم داشتند و اندازه آنها $14/77 \pm 0/65$ میکرومتر طول و $0/75 \pm 0/58$ میکرومتر عرض ثبت شد (شکل ۱-ج). انوسیتوئیدها $5/55 \pm 0/55$ میکرومتر طول و $0/35 \pm 0/83$ میکرومتر عرض، هسته جانبی و سیتوپلاسم شفافی داشتند (شکل ۱-د). اسفلولوسیت‌ها تخم‌مرغی شکل و حاوی گوچه‌هایی بودند، اندازه این یاخته‌ها $17/93 \pm 0/51$ میکرومتر طول و $0/26 \pm 0/05$ میکرومتر عرض بود (شکل ۱-ه). اندازه پروهموسیت‌ها $6/58 \pm 0/23$ میکرومتر طول و $3/45$ میکرومتر عرض ثبت شد (شکل ۱-و).

تغییرپذیری شمار کل یاخته‌های خونی
شمار کل یاخته‌های خونی در لارو تیمارشده با گونه *H. bacteriophora*، در پانزده دقیقه و دو ساعت پس از تزریق، در مقایسه با شاهد، افزایش معنی‌داری داشت ($P \leq 0/05$ ، $F_{2,21} = 5/38$ ؛ $P \leq 0/05$ ، $F_{2,21} = 3/52$)، اما از چهار ساعت پس از تزریق به تدریج شمار یاخته‌ها کاهش یافت، به طوری‌که در هشت و دوازده ساعت پس از تزریق، تراکم یاخته‌های خونی در همولنف در کمترین سطح مشاهده شد ($P \leq 0/05$ ، $F_{2,21} = 18/57$ ؛ $P \leq 0/05$ ، $F_{2,21} = 25/78$) شمار کل یاخته‌های خونی در لارو تیمارشده با گونه *S. feltiae* در فاصله زمانی پانزده دقیقه تا چهار ساعت پس از تزریق، تغییر زیادی نداشت اما در هشت ساعت پس از تزریق، شمار کل آنها سیر کاهشی نشان داد (شکل ۲).

شمارش افتراقی یاخته‌های خونی

تغییرپذیری شمار پلاسماتوسیت‌ها در لارو پرووانه مومخوار بزرگ تیمارشده با *H. bacteriophora* در پانزده دقیقه، دو و چهار ساعت پس از تزریق، افزایش معنی‌داری نسبت به تیمار شاهد داشت ($P \leq 0/05$ ، $F_{2,21} = 4/77$ ؛ $F_{2,21} = 26/29$ ، $F_{2,21} = 44/17$)، اما در زمان‌های هشت و دوازده ساعت پس از تزریق در مقایسه

برای تعیین میزان پروتئین، 10 میکرولیتر از همولنف رقیق شده، به معرف برده‌ورد اضافه شده و جذب آن در 630 نانومتر خوانده شد (Bradford 1976). این آزمایش در چهار تکرار و کل آزمایش در دو نوبت تکرار شد.

بررسی تغییر سطح فعالیت آنزیم فنل‌اکسیداز لارو *G. mellonella* در واکنش به نماتودهای بیمارگر حشرات به منظور بررسی تغییرپذیری فعالیت آنزیم فنل‌اکسیداز در همولنف لارو پروانه مومخوار بزرگ تیمارشده با نماتود بیمارگر، 10 میکرولیتر از همولنف لاروهای تیمارشده با هرگونه نماتود بیمارگر، در زمان‌های مشخص 15 دقیقه، 2 ، 4 ، 8 و 12 ساعت پس از تزریق در ریزلوله (میکروتیوب)‌های $0/2$ میلی‌لیتری روی بخ گردآوری شد، سپس بستره (سوپسترا) دوپامین هیدروکلراید^۱ با غلظت 60 میلی‌مolar در بافر فسفات 50 میلی‌مolar با $pH=8/6$ و $DMF=2$ درصد، اسیدفسفریک^۲ 80 درصد و $MBTH=5$ میلی‌مolar تهیه شد (Valadez et al. 2012). برای برآورد میزان جذب، در آغاز بستره به چاهک‌های میکروپلیت ریدر اضافه شد سپس بی‌درنگ همولنف اضافه شده و جذب نوری نمونه‌ها در طول موج 492 نانومتر خوانده شد. محلول بستره روزانه تهیه و در ظرفی تیره نگهداری شد. تیمار شاهد با 10 میکرولیتر آب تیمار شد. شرایط تکرار آزمایش همانند پیش بود.

تحلیل آماری

تفاوت بین میانگین تیمارها در هر آزمایش با استفاده از مقایسه تیمار با دو گونه نماتود با شاهد در هر زمان، به کمک آزمون LSD در سطح 5 درصد با نرم‌افزار SAS(9.1) محاسبه شد.

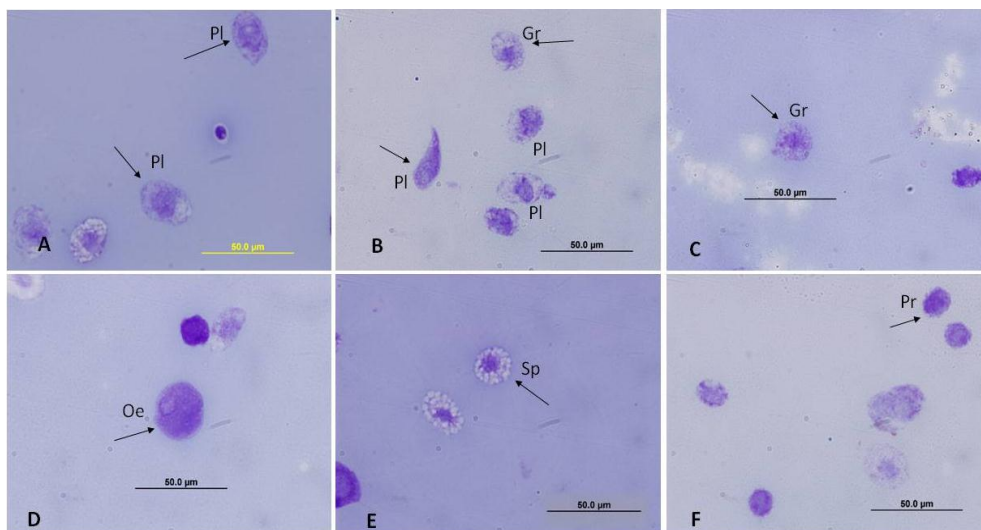
نتایج

شناسایی یاخته‌های خونی
یاخته‌های خونی لارو پروانه مومخوار بزرگ، شامل پنج جور مختلف است که عبارتند از: پلاسماتوسیت،

-
1. Dopamin hydrochloride
 2. Dimethylformamid
 3. Methyhl 2-benzothiazolinone hydrozone hydrochloride

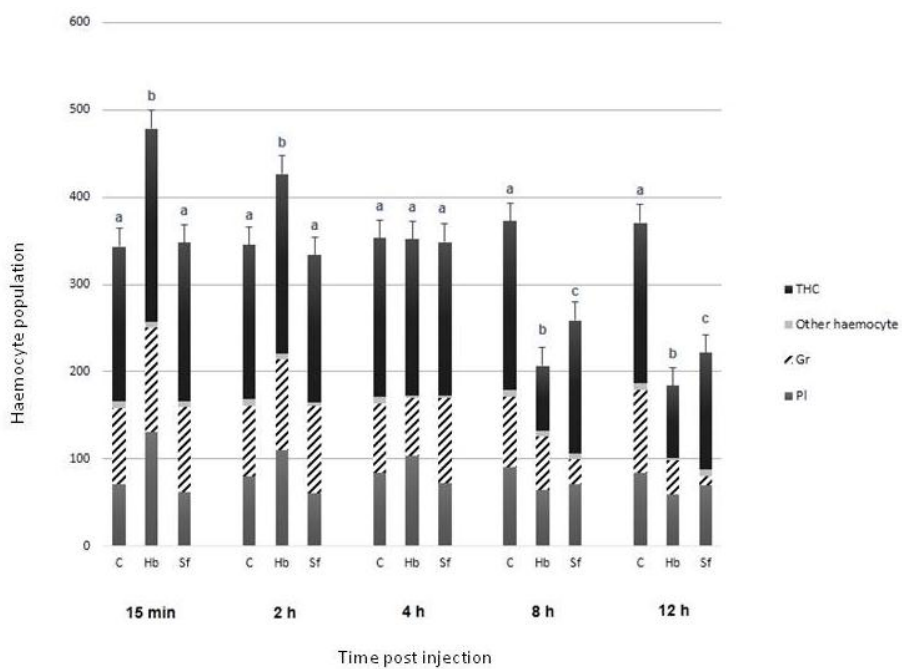
S. feltiae تفاوتی معنی‌دار در انبوهی پلاسماتوسیت‌ها در همه زمان‌های پس از تیمار مشاهده نشد.

با شاهد کاهش ناچیز ولی معنی‌دار، نشان داد ($P \leq 0.05$). در لاروهای تیمارشده با گونه $F_{2,21}=77/1$, $F_{2,21}=8/2$



شکل ۱. یاخته‌های خونی در لارو پروانه موم خوار بزرگ. A و B. پلاسماتوسیت، C. گرانولوسیت، D. انسیتوئید، E. اسفلولوسیت، F. پروهموسیت. Pl: پلاسماتوسیت، Gr: گرانولوسیت، Oe: انسیتوئید، Sp: اسفلولوسیت، Pr: پروهموسیت.

Figure 1. Hemocytes of *Galleria mellonella* larvae. A and B: plasmacyte, C: granulocyte, D: oenocyte, E: spherulocyte, F: prohaemocyte. Pl: Plasmacyte, Gr: Granulocyte, Oe: Oenocytoid, Sp: Spherulocytes, Pr: Prohaemocytes.



شکل ۲. تغییرپذیری جمعیت یاخته‌های خونی در لارو *Galleria mellonella* تیمارشده با دو گونه نماتود بیمارگر. THC: شمار کل یاخته‌های خونی، Gr: گرانولوسیت، Pl: پلاسماتوسیت. C: تیمار شاهد، Hb: *Heterorhabditis bacteriophora*, Sf: *Steinernema feltiae*. حروف نشان‌دهنده تفاوت معنی‌دار میانگین شمار کل هموسیت‌ها بر پایه آزمون LSD در سطح 0.05 درصد هستند. * میانگین شمار یاخته‌های خونی $= 104$.

Figure 2. Changes in haemocyte population in *G. mellonella* larvae treated with entomopathogenic nematode. Letters indicated significantly different in THC between treatments (Control, *H. bacteriophora* and *S. feltiae*) in each time post injection. Different letter(s) are significant at $p \leq 0.05$, according to LSD test. THC: Total haemocyte count, Gr: Granulocyte, Pl: Plasmacyte, C: control, H.b: *Heterorhabditis bacteriophora*, S.f: *Steinernema feltiae*.

دفاع هیومرال

با توجه به منحنی استاندارد، میزان پروتئین اندازه‌گیری شده به روش بردفورد، در همولنف لارو $G. mellonella$ برابر $6/35 \pm 0/03$ میلی‌گرم بر میلی‌لیتر، محاسبه شد.

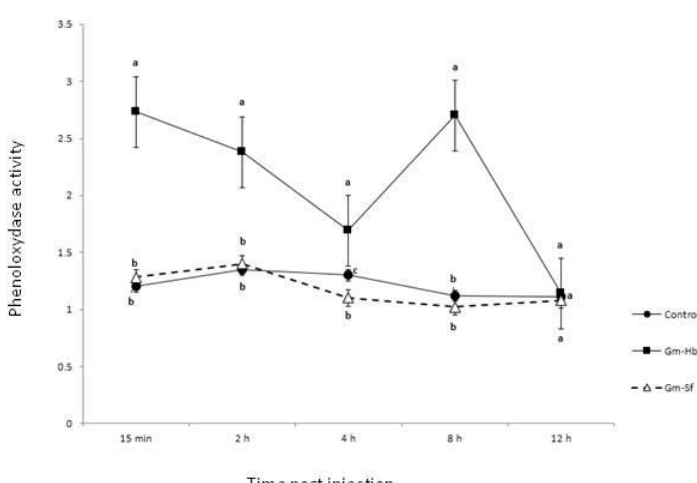
بررسی تغییر فعالیت آنزیم فنل‌اکسیداز در لارو تیمارشده با نماتودهای بیمارگر حشرات

فعالیت آنزیم فنل‌اکسیداز در همولنف لارو پرونانه موم خوار بزرگ پس از تزریق نماتود بیمارگر در مقایسه با شاهد نوسان زیادی نشان داد. پانزده دقیقه پس از ورود لارو بیمارگر گونه *H. bacteriophora* به هموسل حشره، فعالیت آنزیم بی‌درنگ با شیب زیادی افزایش یافت و به سطح تفاوت معنی‌دار با شاهد رسید ($F_{2,21}=5, P \leq 0/05$)، سپس تا چهار ساعت، به تدریج کاهش یافت. در هشت ساعت پس از تیمار، دوباره فعالیت آنزیم افزایش ناگهانی نشان داد، اما در نهایت چهار ساعت بعد، در زمان دوازده ساعت پس از تزریق، فعالیت آن کاهش یافت. واکنش آنزیم فنل‌اکسیداز لارو پرونانه موم خوار بزرگ در برابر گونه *S. feltiae* در مقایسه با گونه *H. bacteriophora*، به مراتب کمتر بود، همچنین در مقایسه با تیمار شاهد اگرچه میزان فعالیت آنزیم کاهش نشان داد اما تفاوت معنی‌دار نبود (شکل ۳).

تزریق نماتود *H. bacteriophora* به لارو موجب شد شمار گرانولوسیت‌ها، بی‌درنگ در پانزده دقیقه تا دو ساعت پس از تزریق، افزایش معنی‌داری در مقایسه با شاهد داشته باشد ($F_{2,21}=5/7, P \leq 0/05$ ، $F_{2,21}=9/92$ ، ولی در زمان‌های هشت و دوازده ساعت پس از تزریق، تراکم این یاخته‌ها کاهشی معنی‌دار در قیاس با شاهد نشان داد ($F_{2,21}=26/1, P \leq 0/05$ ، $F_{2,21}=10/9/5$)، در مقابل در لاروهای تیمارشده با گونه *S. feltiae* که تنها در دو ساعت پس از تزریق تراکم گرانولوسیت‌ها، افزایش کم، اما معنی‌داری در مقایسه با شاهد داشت ($P \leq 0/05$ ، $F_{2,21}=5/7$)، اما با گذشت زمان، در هشت و دوازده ساعت پس از تزریق، تراکم یاخته‌های یادشده کاهش شدیدی در مقایسه با شاهد نشان داد.

تغییرپذیری شمار انوسيتoidها در لاروهای تیمارشده با گونه *S. feltiae* و *H. bacteriophora*

زمان‌های پانزده دقیقه و دو ساعت، تفاوتی معنی‌دار با شاهد نداشت ($F_{2,21}=0/362, P \geq 0/05$ ، $F_{2,21}=1/13$)، اما با گذشت زمان، در دوازده ساعت به بیشترین شمار در مقایسه با شاهد رسید ($F_{2,21}=6/74, P \leq 0/05$). شمار پروهموسیت‌ها در لاروهای تیمارشده با هر دو گونه نماتود *H. bacteriophora* و *S. feltiae* از دو تا دوازده ساعت پس از تزریق، کاهش معنی‌داری در مقایسه با شاهد داشت ($F_{2,21}=6/4, P \leq 0/05$ و $F_{2,21}=8/12, P \leq 0/05$). (شکل ۲). $F_{2,21}=5/0/3, F_{2,21}=15/0/4, F_{2,21}=7$



شکل ۳. تغییرات فعالیت آنزیم فنل‌اکسیداز در لارو *Galleria mellonella* تیمارشده با دو گونه نماتود بیمارگر، ($U/mg Protein \pm SE$) Gm: *Galleria mellonella*; H.b: *Steinerinema feltiae*; S.f: *Heterorhabditis bacteriophora*; H.b: *Galleria mellonella*; Gm: *Steinerinema feltiae*.

Figure 3. Phenoloxidase activity in *G. mellonella* larvae. ($U/mg Protein \pm SE$) Gm: *Galleria mellonella*; H.b: *Heterorhabditis bacteriophora*; S.f: *Steinerinema feltiae*.

یاخته‌های باکتری همزیست نماتود، در همولنف ثبت شد. رهاسازی باکتری همزیست در هموسل میزبان، *Photorhabdus* نقشی مهم در بروز بیمارگری دارد، *H. bacteriophora*, *luminescens* که در مدت‌زمان کوتاهی (سی دقیقه) پس از ورود به هموسل رها می‌شود، از راههای چندی از جمله از بین‌بردن پلیمریزاسیون یاخته‌های خونی و تخریب آنها باعث تسريع در بروز عفونت خونی می‌شود (Aktories et al. 2012). در برابر، واکنش ایجادشده توسط گونه S. *feltiae* بسیار متفاوت بود، برخلاف گونه اول، تزریق این نماتود به هموسل G. *mellonella* در ساعت‌های اولیه، تغییر شایان توجهی در شمار یاخته‌های خونی ایجاد نکرد اما با گذشت زمان کاهش شمار کل یاخته‌های خونی مشاهده شد. عمده‌ترین دلیل این موضوع رهاسازی و افرونosh باکتری همزیست Xenorhabdus bovienii در همولنف میزبان است که تا چهار ساعت پس از حضور نماتود در هموسل لارو رها شده، افزونش می‌شود (Wang 1994) و با اتصال به سطح یاخته‌های خونی باعث می‌شود قابلیت اتصال به مهاجم را از دست بدنه‌دند (Brivio et al. 2005). فاصله زمانی متفاوت در کاهش جمعیت یاخته‌های خونی، در دو تیمار به دلیل همین تفاوت در زمان رهاسازی باکتری همزیست در دو گونه نماتود بیمارگر است.

ترکیب متفاوت چربی (لیپید)‌های کوتیکول گونه S. *feltiae* باعث دفع پاسخ یاخته‌ای حشره می‌شود (Dunphy and Webster 1984)، همچنین در بررسی روی واکنش دفاعی علیه Steinernema به سازوکار "نقليد ملکولی" اشاره شده است، نتایج این تحقیق نشان می‌دهد که این جنس می‌تواند با اتصال و جذب پروتئین‌های همولنف میزبان در سطح پوستک خودپوششی ایجاد کند که در هموسل به عنوان عامل بیگانه شناخته نشود. به کارگیری این سازوکار باعث می‌شود پاسخ‌های ایمنی یاخته‌ای و هیوممال با تأخیر در برابر این گونه فعل شده و نماتود فرصت رهاسازی Mastore and Brivio (2008). متناظر با پاسخ یاخته‌ای مشاهده شده، فعالیت آنزیم فنل‌اکسیداز نیز در برابر گونه H. *bacteriophora* سریع‌تر و با شدت بیشتری مشاهده نسبت به S. *feltiae*

بحث

چگونگی تقابل و تأثیر بیمارگرها حشرات در رویارویی با سامانه ایمنی ذاتی در بررسی‌های دیگری، از جمله Ebrahimi et al. 2011, Li et al. 2009, El-Aziz et al. 2010, Valadez-Lira et al. 2011, Alvandi et al. 2014 (2014) بررسی شده است. در این بررسی تأثیر نماتودهای بیمارگر حشرات روی یاخته‌های خونی و فعالیت آنزیم فنل‌اکسیداز لارو پروانه موم‌خوار بزرگ به عنوان مدل آزمایشگاهی بررسی شد.

اندک زمانی پس از ورود لارو بیمارگر G. *mellonella* به حفره عمومی H. *bacteriophora* سامانه دفاع یاخته‌ای تحریک شده، شمار کل یاخته‌های خونی در واکنش به آن بی‌درنگ افزایش یافت. در بررسی دیگری نیز عنوان شده است که انگلی (پارازیته) شدن Helicoverpa armigera توسط نماتود Ovomremis sinensis باعث افزایش شمار کل یاخته‌های خونی می‌شود (Li et al. 2009). شمارش افتراقی یاخته‌های خونی در همان فاصله زمانی نشان داد که قسمت عمده افزایش تراکم یاخته‌های خونی مربوط به انواع گرانولوسیت و پلاسماتوسیت‌ها است. گرانولوسیت‌ها، یاخته‌هایی به شدت چسبنده هستند که شمار زیادی مولکول‌های شناسایی‌کننده¹ تولید می‌کنند که عمل شناسایی عامل بیگانه را ساده و آسان می‌کند (Strand 2008)، بنابراین، افزایش مشاهده شده در شمار گرانولوسیت‌ها طی زمان‌های اولیه ورود لارو بیمارگر نماتود، نشان‌دهنده عملکرد آن در فعال‌سازی سامانه دفاعی حشره در برابر عامل بیرونی است (Boucias and Pendland 1998, Roelwy and Ratcliffe 1980, Beckage 2008) و همچنین پلاسماتوسیت‌ها در کنار گرانولوسیت‌ها به عنوان یاخته‌های خونی مهم دخیل در پاسخ ایمنی حشرات شناخته شده‌اند (Pech and Strand 1996). با گذشت زمان حضور نماتود در هموسل لارو منجر به کاهش شمار کل یاخته‌های خونی و به دنبال آن شمار پلاسماتوسیت‌ها و گرانولوسیت‌ها شد. هم‌زمان با مشاهده این تغییرپذیری در جمعیت یاخته‌های خونی، با گذشت زمان، افزایش تراکم

علت وارد شدن در فعالیت‌های اینمی، کاهش می‌یابد (Yamashita and Iwabuchi 2001). در لارو پروانه مومخوار بزرگ تیمارشده با دو گونه نماتود، روند تغییرپذیری پروهوموسیت کاهشی بود، این کاهش مؤید نقش این نوع یاخته خونی در فعالیت‌های دفاعی است. نتایج مشاهده‌های پاسخ یاخته‌ای و هیومرال نشان می‌دهد که گونه *H. bacteriophora* نسبت به گونه *S. feltiae* در رویارویی با سامانه اینمی تقابل شدیدتری دارد، در حالی که گونه *S. feltiae* با داشتن توانایی در پنهان ماندن و دوری از واکنش‌های اینمی میزبان و نیز دفع موفق پاسخ‌های اینمی، هم‌زمان با بروز عفونت خونی در آن، تقابل کمتری با سامانه اینمی میزبان ایجاد می‌کند (Castillo et al. 2011). این ویژگی جنس *Steinernema* spp.، باعث شده است در طول تکامل با صرف هزینه کمتر برای رویارویی با میزبان، دست‌یابی آسان‌تری به منابع میزبان داشته باشد.

شد. لارو بیمارگر *H. bacteriophora* در زمان اولیه ورود به هموسل باعث فعال‌سازی پاسخ هیومرال در میزبان شد. در مقابل، با ورود لارو بیمارگر گونه *S. feltiae* هیچ نوع واکنش هیومرال مشاهده نشد، ترکیبات سطح بدن نماتود در فعال‌سازی سامانه پروفنل‌اکسیداز نقشی مهم داشته و این ترکیبات در پوستک *S. feltiae* باعث دفع سامانه اینمی هیومرال می‌شوند (Brivio et al. 2002). افزایش شمار انواعی‌تیدها در بازه زمانی بالاتر پس از ترریق، می‌تواند در ارتباط با نقش مهم این یاخته‌های خونی به عنوان منبع فنل‌اکسیداز باشد که به دنبال افزایش شمار آنها، به احتمال منجر به تولید بیشتر فنل‌اکسیداز از مسیر یاخته‌ای می‌شود (Ribeiro Brehelin 2006, 2005).

پروهوموسیت‌ها به مثابه یاخته‌های بنیادی هستند که در فرآیند واکنش، تبدیل به پلاسماتوسیت و گرانولوسیت، می‌شوند بنابراین با آغاز واکنش‌های دفاعی شمار آنها به

REFERENCES

- Altuntas H, Kilic AY, Uckan F, Ergin E** (2012) Effects of gibberellic acid on hemocytes of *Galleria mellonella* L. (Lepidoptera: Pyralidae). Environmental Entomology 41: 688-696.
- Alvandi J, Karimi J, Dunphy GB** (2014) Cellular reactions of the white grub larvae, *Polyphylla adspersa*, against entomopathogenic nematodes. Nematology 16: 1047-1058.
- Aktories K, Schean C, Papatheodorou P, Lang A** (2012) Bidirectional attack on the actin cytoskeleton. Bacterial protein toxins causing polymerization or depolymerization of actin. Toxin 60: 572-581.
- Brivio MF, Pagani M, Restelli S** (2002) Immune suppression of *Galleria mellonella* (Insecta, Lepidoptera) humoral defenses induced by *Steinernema feltiae* (Nematoda, Rhabditida) involvement of the parasite cuticle. Experimental Parasitology 101: 149-156.
- Brivio MF, Mastore M, Pagani M** (2005) Parasite-host relationship: a lesson from a professional killer. Insect Science 2: 41-53.
- Boucias DG, Pendland JC** (1998) Principle of insect pathology, Kluwer Academic Publishers, Norewell, Massachusetts.
- Bradford MM** (1976) A rapid and sensitive method for the quantitating of microgram quantities of protein utilizing the principle of protein-dye binding. Analytical Biochemistry 72: 248-254.
- Beckage NE** (2008) Insect Immunology, Academic Press, California.
- Castillo JC, Reynolds SE, Eleftherianos** (2011) Insect immune responses to nematode parasites. Trends in Parasitology 27: 537-547.
- Dunphy GB, Webster JM** (1984) Interaction of *Xenorhabdus nematophilus* subsp. *nematophilus* with the hemolymph of *Galleria mellonella*. Journal of Insect Physiology 30: 883-889.
- Er A, Uc F, Kan DB, Rivers E, Ergin, Sak O** (2010) Effects of parasitization and envenomation by the endoparasitic wasp *Pimpla turionellae* (Hymenoptera: Ichneumonidae) on hemocyte numbers, morphology, and viability of its host *Galleria mellonella* (Lepidoptera: Pyralidae). Annual review of Entomological Society of America 103: 273-282.
- Ebrahimi L, Niknam G, Dunphy GB** (2011) Hemocyte responses of the Colorado potato beetle, *Leptinotarsa decemlineata*, and the greater wax moth, *Galleria mellonella*, to the entomopathogenic nematodes, *Steinernema feltiae* and *Heterorhabditis bacteriophora*. Journal of Insect Science 11: 1-13.
- Gupta AP** (1972) Insect hemocytes. Cambridge University Press, New York.
- Grewal PS, Ehlers RU, Shapiro-Ilan DI** (2005) Nematode as biocontrol agent, CABI Publishing, London.
- Iwamar R, Ashida M (1986) Biosynthesis of prophenoloxidase in hemocytes of larval hemolymph of the silkworm, *Bombyx mori*. Insect Biochemistry 16: 547-555.
- Kaya H, Lacey L** (2007) Introduction to microbial control, In Field manual of techniques in invertebrate pathology (eds, Lacey L.A. and Kaya H.). Springer, 825. pp. Netherlands. 3-9.

- Karimi J, Kharazi-Pakdel A, Yoshiga T** (2009) Insect pathogenic nematode, *Steinernema feltiae*, from Iran. IOBC/wprs Bulletin 45: 409-412.
- Mastore M, Brivio MF** (2008) Cuticular surface lipids are responsible for disguise properties of an entomoparasite against host cellular responses. Developmental and Comparative Immunology 32: 1050-1062.
- Nielsen-LeRoux CH, Gaudriault S, Ramarao N, Lereclus D, Givaudan A** (2012) How the insect pathogen bacteria *Bacillus thuringiensis* and *Xenorhabdus/Photorhabdus* occupy their hosts. Current Opinion in Microbiology 15: 220-231.
- El-Aziz NM, Awad HH** (2010) Changes in the haemocytes of *Agrotis ipsilon* larvae (Lepidoptera: Noctuidae) in relation to dimilin and *Bacillus thuringiensis* infections. Micron 41:203–209.
- Lavine MD, Strand MR** (2002) Insect hemocyte and their role in cellular immune responses. Insect Biochemistry and Molecular Biology 32: 1237-1242.
- Li Q, Sun Y, Wang G, Liu X** (2009) Effect of the nematode *Ovomermis sinensis* on the hemocyte of its host *Helicoverpa armigera*. Journal of Insect Physiology 55: 47-50.
- Ling E, Yu X.-Q** (2005) Prophenoloxidase binds to the surface of hemocyte and involved in hemocyte melanization in *Manduca sexta*. Insect Biochemistry and Molecular Biology 35: 1356-1366.
- Ribeiro C, Brehelin M** (2006) Insect hemocytes: what type of cell is that? Journal of Insect Physiology 52: 417-429.
- Rowley AF, Ratcliffe NA** (1980) Insect erythrocyte agglutinins. In vitro opsonization experiments with *Clitumnus extradentatus* and *Periplaneta americana* haemocytes. Immunology 40: 483-49.
- Pech LL, Strand MR** (1996) Granular cells are required for encapsulation of foreign targets by insect haemocytes. Journal of Cell Science 109: 2053-2060.
- Pandy JP, Tiwari RK** (2012) An overview of insect hemocyte science and its future application in applied and biomedical fields. American Journal of Biochemistry and Molecular Biology 2: 82-105.
- Price CD, Ratcliffe A** (1974) A reappraisal of insect haemocyte classification by the examination of blood from fifteen insect orders of blood. Zellforsch 147: 537-549.
- Strand M** (2008) Insect hemocyte and their role in immunity, in Beckage, N. E. Insect Immunology, Academic Press. California. 336 pp.
- SAS Institute** (2004) SAS Enterprise Guide ver.9.1.
- Thurston GS, Yule WN, Dunphy GB** (1994) Explanations for the low susceptibility of *Leptinotarsa decemlineata* to *Steinernema carpocapsae*. Biological Control 4: 53-58.
- Tsakas S and Marmaras VJ** (2010) Insect immunity and its signaling: an overview. Insect Science Journal 7: 228-238.
- Yamashita M, Iwabuchi K** (2001) *Bombyx mori* prohemocytes division and differentiation in individual microcultures. Juornal of Insect Physiology 47: 325-331.
- Vilcinskas A, Matha V** (1997) Effect of entomopathogenic fungi *Baenueria bassiana* on the humoral immune response of *Galleria mellonella* larvae (lep: Pyralidae). European Journal of Entomology 94: 461-472.
- Vega EF, Kaya HK** (2012) Insect pathology 2th edition, Academic Press, London, UK.
- Valadez-Lira JA, Alcocer-Gonzalez JM, Damas G, Nunez-Mejia G, Oppert B, Rodriguez-Padilla, Tamez-Guerra P** (2011) Comparative evaluation of phenoloxidase activity in different larval stage of four lepidopteron pests after exposure to *Bacillus thuringiensis*. Journal of Insect Science 12: 1-11.
- Wang Y, Gugler R, Cui LW** (1994). Variation in immune response of *Popillio japonica* and *Acheta domesticus* to *Heterorhabditis bacteriophora* and *Steinernema* species. Journal of Nematology 26: 11-18.

Fluctuations of haemocytes and phenol oxidase enzyme in the greater wax moth larvae, *Galleria mellonella* injected with *Heterorhabditis bacteriophora* and *Steinernema feltiae*

Zahra Rahatkhah¹, Javad Karimi^{2*}, Mohammad Ghadamyari³ and
Gholamhossein Morravej⁴

1, 2, 4. M.Sc. Student, Associate Professor and Assistant Professor, Department of Plant Protection,
Ferdowsi University of Mashhad, Iran

3. Associate Professor, Department of Plant Protection, Guilan University, Iran

(Received: Feb. 4, 2015 - Accepted: Dec. 30, 2015)

ABSTRACT

Insect immunity comprises behavioral, physical and innate immunity. In this study, innate immune response of the greater wax moth larvae, *Galleria mellonella* against two species of entomopathogenic nematodes, *Heterorhabditis bacteriophora* and *Steinernema feltiae*, as important biocontrol agents were studied. Total haemocyte count in larvae injected with *H. bacteriophora* increased immediately. In this case, plasmatocytes and granulocytes were the prevalent haemocyte types. The response of injected larvae with *S. feltiae* was different. There was no significant increase in haemocyte population by 15 min until 4 h after injection. Haemocyte populations in hemolymph of *G. mellonella* larvae after injection by both nematode species was decreased 8 and 12 h after post injection. In humoral response, *H. bacteriophora* caused a significant increase in phenoloxidase activity by 15 min until 8 h after injection to hemoceol. In contrast, phenoloxidase activity against *S. feltiae* showed lower fluctuation rather than those in treated larvae by *H. bacteriophora*. The result of cellular and humoral immune response of the larvae suggested that *H. bacteriophora* induced stronger reaction of the insect as compared with *S. feltiae*. The latter species not only evades of host immune response but also can suppress the immune responses, successfully. These, eventually suggests a weak interaction between the pathogen with host immune system.

Keywords: Insect immunity, cellular response, humoral response, insect pathology, entomopathogenic nematod.